

# 有限変形理論によるR.C.および合成桁の弾塑性解析

九州大学工学部 山崎徳也  
宮崎大学工学部 太田俊昭

## 1. 序言

R.C. および合成桁は、引張に強い鋼材と圧縮に強いコンクリートを効果的に組合せて、曲げ部材としての機能を生かした極めて経済性の高い構造形式であり。今日、その施工例は土木および建築構造分野において数多く見られる。その設計計算は、通常単純な弾性理論に基づいて行われているが、これを粘弾塑性複合体と見做して解析すれば、崩壊荷重ならびに許容たわみ量などに基づく合理的な安全率が見い出せるゆえ、より厳密かつ経済的な設計が可能となる。

かかる分野に関しては、既に J.N. Kan,<sup>1</sup> C.E. Eckberg,<sup>2</sup> R.C. Fenwick,<sup>3</sup> I.O. Oladapo,<sup>4</sup> J.W. Roderrick<sup>5</sup> および H. Robinson<sup>6</sup> による基礎的研究があるが、いずれもこの種桁の破壊性状を左右する諸因子すなわち、コンクリート固有の粘弾塑性や亀裂およびコンクリートと鋼材の付着、さらには桁の変形の有限性などを総て網羅しうる一般理論解ではない。

本研究は、R.C. および合成桁の粘弾塑性有限変形理論の体系的確立を目的とし、その第1段階として軸力と曲げモーメントの組合せ負荷を受けけるこの種桁のコンクリート部の亀裂を考慮した弾塑性有限変形についての解析を試みたものである。すなわち、鋼材およびコンクリートの応力-歪曲線にそれぞれ図-1 および図-3 に示すごとき曲線を採用し、これらに基づいて軸力と曲げモーメントの組合せ負荷を受けける断面応力と歪さらに曲率の算定公式を導き、かつ補正エネルギー法に有限変形理論を導入することにより、かかる桁の弾塑性挙動ならびに力学的諸特性を解明把握せんとしたものである。

## 2. 応力ならびに歪

鋼材の応力-歪曲線を歪硬化の影響を考慮した図-1 に示すごとき Bi-linear の折線でモデル化すれば、弾性および塑性応力状態を包含する鋼材の応力-歪曲線式は、歪の1次式で次のとく一般表示される。

$$\sigma_s = \mu_s (\varepsilon_s - \varepsilon_s^*) \quad (1)$$

ただし  $\sigma_s, \varepsilon_s$ : 鋼材の応力および歪、 $\mu_s, \varepsilon_s^*$ : 表-1 に示すごとき定数。

一方、コンクリートの応力-歪曲線は、一般に図-2 のごくなるゆえ、本論文では、これを図-3 のごく1次 もしくは2次曲線で置換する。

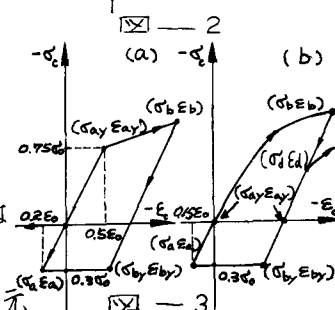
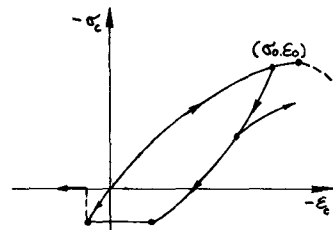
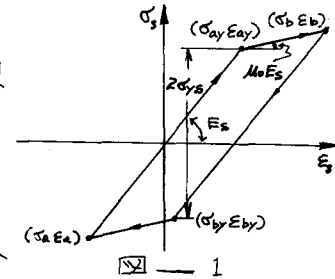
すなわち、コンクリートの応力-歪曲線式は、一般に

$$\left. \begin{aligned} \sigma_c &= \mu'_c \varepsilon_c + f(\varepsilon_c) \\ f(\varepsilon_c) &= \nu'_c + \eta'_c \varepsilon_c^2 \end{aligned} \right\} \quad (2)$$

または  
 $f(\varepsilon_c) = \nu'_c$

ここに  $\sigma_c, \varepsilon_c$  はコンクリートの応力、歪を表わし、また係数  $\mu'_c, \nu'_c, \eta'_c$  はコンクリートの材質、材令によって定まる定数である。

ここで  $\bar{\sigma} = \sigma_c / \sigma_s$ ,  $\bar{\varepsilon} = \varepsilon_c / \varepsilon_s$  を用いて式(1), (2) を無次元



化すれば、それぞれ

$$\bar{\epsilon}_s = \mu_s (\bar{\epsilon}_s - \bar{\epsilon}_s^*) \quad (3)$$

$$\bar{\epsilon}_c = \mu_c \bar{\epsilon}_c + f(\bar{\epsilon}_c) \quad (4)$$

$$t: t: l \quad \mu_s = \mu_s' \epsilon_0 / 100, \quad f(\bar{\epsilon}_c) = \nu_c + \gamma_c \bar{\epsilon}_c^2, \quad \nu_c = \nu_c' \epsilon_0 / 100,$$

$$\mu_c = \mu_c' \epsilon_0 / 100, \quad \gamma_c = \gamma_c' \epsilon_0^2 / 100, \quad \delta_s, \epsilon_s: \text{鋼筋降伏応力および歪},$$

$\nu_c, \mu_c, \gamma_c$ : 表-2 に示すごとき定数,

$\epsilon_0, \epsilon_s$ : コンクリートの正縮極限応力および歪。

さて、桁の断面の上縁および下縁の歪をそれぞれ  $\epsilon_a$  および  $\epsilon_b$  とし、平面保持の法則を仮定すれば、任意点  $k$  の歪  $\bar{\epsilon}_k$  は図-4 により次式で与えられる。

$$\bar{\epsilon}_k = (1 - \bar{y}_k) \bar{\epsilon}_a + \frac{\bar{\epsilon}_b}{\bar{\epsilon}_a} \quad (5)$$

$$t: t: l \quad \bar{y}_k = y_k / h, \quad \bar{\epsilon}_a = \epsilon_a / \epsilon_0, \quad \bar{\epsilon}_b = \epsilon_b / \epsilon_0,$$

$y_k$ : 下縁より任意点  $k$  までの距離,  $h$ : 桁高.

よって任意点  $k$  の応力は、式(3), (4)に式(5)を代入して

$$\bar{\sigma}_{sk} = (\mu_{sk}(1 - \bar{y}_k) \mu_s \bar{\epsilon}_a) \left( \frac{\bar{\epsilon}_a}{\bar{\epsilon}_u} \right) - (\mu_{sk} \bar{\epsilon}_{sk}) \quad (6)$$

$$\bar{\sigma}_{ck} = (\mu_{ck}(1 - \bar{y}_k) \mu_c \bar{\epsilon}_a) \left( \frac{\bar{\epsilon}_a}{\bar{\epsilon}_u} \right) + f(\bar{\epsilon}_{ck}) \quad (7)$$

式(6), (7)より 断面全部の応力を算定可能となるか、この場合歪が表-1 および表-2 で定義された各 Step のうち、この Step にあらわす判別式(6), (7)の未知係数  $\nu_c, \mu_c, \gamma_c$  および  $\bar{\epsilon}_{sk}$  を決定する必要があり、その判別操作フローラムを図-5, 6 に示した。

### 3. 曲率の算定式

軸力  $N$  と曲げモーメント  $M$  の組合せ負荷を受ける桁断面に働く外力と内力の釣合式は一般に次式で与えられる。

$$\begin{pmatrix} 0 & 1 \\ 1 & -d/h \end{pmatrix} \begin{pmatrix} M \\ N \end{pmatrix} = \begin{pmatrix} \int \sigma dA_o \\ -\int \sigma y dA_o \end{pmatrix} \quad (8)$$

t: t: l  $dA_o$ : 従孔の面積,  $d/h$ : 純曲げひび割れの場合の中立軸より下縁までの距離  
式(8)に式(6), (7)を代入のうえ無次元化すれば

$$\begin{pmatrix} 0 & 1 \\ 1 & -d/h \end{pmatrix} \begin{pmatrix} M \\ N \end{pmatrix} = \begin{pmatrix} \int_A (\mu_s(1 - \bar{y}) dA_o + \int_A \mu_c(1 - \bar{y}) \bar{y} dA_o) / A_o \left( \int_A \mu_s \bar{\epsilon}_a dA_o + \int_A \mu_c \bar{\epsilon}_a \bar{y} dA_o \right) / A_o \\ d / \int_A (\mu_s(1 - \bar{y}) dA_o + \int_A \mu_c(1 - \bar{y}) \bar{y} dA_o) / A_o \cdot d / \left( \int_A \mu_s \bar{\epsilon}_a dA_o + \int_A \mu_c \bar{\epsilon}_a \bar{y} dA_o \right) / A_o \end{pmatrix} \left( \frac{\bar{\epsilon}_a}{\bar{\epsilon}_u} \right) - \left( \int_A \mu_s \bar{\epsilon}_a^2 dA_o - \int_A f(\bar{\epsilon}_a) dA_o \right) / A_o \quad (9)$$

$$t: t: l \quad \bar{M} = M / M_0, \quad \bar{N} = N / N_0, \quad A_o: \text{断面積},$$

$M_0, N_0$ : 無次元化のための基準モーメント および 軸力,

Step	Range	$\mu_s'$	$\bar{\epsilon}_s^*$
1	$\epsilon_a \leq \bar{\epsilon}_s \leq \epsilon_{ay}$	$\mu_s$	$\epsilon_a - \bar{\epsilon}_a / \epsilon_s$
2	$\epsilon_{ay} < \bar{\epsilon}_s \leq \epsilon_b$	$\mu_s E_s$	$\epsilon_{ay} - \bar{\epsilon}_a / \mu_s E_s$
3	$\epsilon_b \leq \bar{\epsilon}_s < \epsilon_{by}$	$\mu_s$	$\epsilon_b - \bar{\epsilon}_b / \mu_s E_s$
4	$\epsilon_a \leq \bar{\epsilon}_s < \epsilon_{by}$	$\mu_s E_s$	$\epsilon_{by} - \bar{\epsilon}_b / \mu_s E_s$
	$\epsilon_{ay} = \epsilon_a + 2\bar{\epsilon}_s, \quad \epsilon_{by} = \epsilon_b - 2\bar{\epsilon}_s$		
	$\bar{\epsilon}_a = \bar{\epsilon}_a + 2\bar{\epsilon}_s, \quad \bar{\epsilon}_b = \bar{\epsilon}_b - 2\bar{\epsilon}_s$		

表-1

(1 次式の場合)			
Step	Range	$\nu_c$	$\mu_c$
1	$\bar{\epsilon}_{ay} < \bar{\epsilon}_c < \bar{\epsilon}_b$	$\bar{\epsilon}_{ay} - \bar{\epsilon}_{ay} / 0.5$	0.5
2	$\bar{\epsilon}_b < \bar{\epsilon}_c < \bar{\epsilon}_{ay}$	$\bar{\epsilon}_b - \bar{\epsilon}_b / 1.5$	1.5
3	$\bar{\epsilon}_{ay} < \bar{\epsilon}_c < 0.2$	0.3	0
4	$\bar{\epsilon}_{ay} < \bar{\epsilon}_c < \bar{\epsilon}_a$	$\bar{\epsilon}_a - \bar{\epsilon}_a / 1.5$	1.5
5	$\bar{\epsilon} > 0.2$	0	0
	$\bar{\epsilon}_{ay} = (0.3 - \bar{\epsilon}_b) / 1.5 + \bar{\epsilon}_b, \quad \bar{\epsilon}_{ay} = \bar{\epsilon}_a - 0.7$		
	$\bar{\epsilon}_{ay} = 1.5(\bar{\epsilon}_{ay} - \bar{\epsilon}_a) + \bar{\epsilon}_a, \quad \bar{\epsilon}_{by} = 0.3$		

(2 次式の場合)			
Step	Range	$\nu_c$	$\mu_c$
1	$\bar{\epsilon}_b \leq \bar{\epsilon}_c \leq \bar{\epsilon}_{ad}$	$-\bar{\epsilon}_a(2 - \bar{\epsilon}_a)$	$2(1 - \bar{\epsilon}_a)$
2	$\bar{\epsilon}_b \leq \bar{\epsilon}_c \leq \bar{\epsilon}_{ay}$	$\bar{\epsilon}_b - 2\bar{\epsilon}_b$	2
3	$\bar{\epsilon}_{ay} < \bar{\epsilon}_c \leq \bar{\epsilon}_a$	$\bar{\epsilon}_{ay} - 2\bar{\epsilon}_{ay}$	2
4	$\bar{\epsilon}_a < \bar{\epsilon}_c \leq 0.15$	0.3	0
5	$\bar{\epsilon}_c > 0.15$	0	0
	$\bar{\epsilon}_b = 2(\bar{\epsilon}_b - \bar{\epsilon}_a)^2 + (\bar{\epsilon}_b - \bar{\epsilon}_a)^2, \quad \bar{\epsilon}_{ay} = \bar{\epsilon}_b - \bar{\epsilon}_b / 2$		
	$\bar{\epsilon}_a = \bar{\epsilon}_a + 0.15, \quad \bar{\epsilon}_{ay} = 0, \quad \bar{\epsilon}_{by} = 0.3$		

表-2

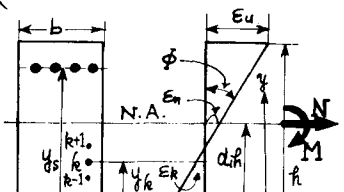


図-4

$\bar{\epsilon}_a, \bar{\epsilon}_b, \bar{\epsilon}_{ay}, \bar{\epsilon}_{by}$  の初期値

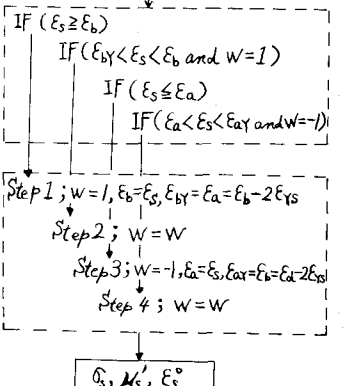


図-5

$A_s$ : 鋼材の断面積,  $A_c$ : コンクリートの断面積,

$$d_0 = h N_0 / M_0$$

一方、曲率中立点より中立軸の歪  $\varepsilon_n$  (純曲げばかり場合)  
は、それぞれ図-4より

$$\begin{aligned} \phi &= (\varepsilon_e - \varepsilon_u) / h \\ \varepsilon_n &= (1-d_0) \varepsilon_e + d_0 \varepsilon_u \end{aligned} \quad \left. \right\} \quad (10)$$

で与えられるゆえ、中立点より  $\varepsilon_n$  をそれと  $M_0$  に対応する曲率中立点より  $\varepsilon_0$  に無次元化したうえで、式(9)を代入して整理すれば、結局次式がえられる。

$$\left( \frac{\varphi}{\bar{\varepsilon}_n} \right) = \left( G_0 \right) + \left( H_0 \right) \left( \frac{\bar{M}}{N} \right) \quad (11)$$

$$\text{ここで } \varphi = \phi / \phi_0, \quad \bar{\varepsilon}_n = \varepsilon_n / \varepsilon_0,$$

$$(G_0) = \begin{pmatrix} d_0 & -d_0 \\ 1-d_0 & d_0 \end{pmatrix} (G)^{-1} (f), \quad (H_0) = \begin{pmatrix} d_0 & -d_0 \\ 1-d_0 & d_0 \end{pmatrix} (G)^{-1} \begin{pmatrix} 0 & 1 \\ 1 & -d_0 \end{pmatrix},$$

$$(G) = \begin{pmatrix} \int_{A_s} \mu_s (1-\bar{y}) dA_0 + \int_{A_c} \mu_c (1-\bar{y}) dA_0 / A_0 & \int_{A_s} \mu_s \bar{y} dA_0 + \int_{A_c} \mu_c \bar{y} dA_0 / A_0 \\ \text{def} \int_{A_s} \mu_s (\bar{y}) dA_0 + \int_{A_c} \mu_c (\bar{y}) dA_0 / A_0 & \text{def} \int_{A_s} \mu_s \bar{y}^2 dA_0 + \int_{A_c} \mu_c \bar{y}^2 dA_0 / A_0 \end{pmatrix},$$

$$(f) = \begin{pmatrix} \int_{A_s} \mu_s \bar{E}_s dA_0 - \int_{A_c} f(\bar{\varepsilon}_0) dA_0 / A_0 \\ \text{def} \int_{A_s} \mu_s \bar{E}_s \bar{y} dA_0 - \int_{A_c} f(\bar{\varepsilon}_0) \bar{y} dA_0 / A_0 \end{pmatrix}, \quad d_0 = \Phi_0 h / \varepsilon_0.$$

よって式(5),(6),(7)および式(11)を用いれば、任意の  $M$  および  $N$  が与えられた場合の応力-歪線には、 $\varphi$ ,  $\bar{\varepsilon}_n$  が算定可能となり、それが Flow Chart (図-7) のごとくなる。

次に、矩形断面 R.C. 枠および T 字形合成枠について式(11)の係数行列を形成する  $(G)$ ,  $(f)$  を考察してみる。

### 1) 矩形断面 R.C. 枠

図-8 に示す  $h \times b$  の矩形断面 R.C. 枠を対象に選ぶ。

まず、無次元化に必要な  $M_0$  および  $N_0$  にて 枠工縁の亀裂発生時の曲げモーメント  $M_{yc}$  および曲率中立点  $\varepsilon_{yc}$  を採用し、応力-歪曲線に 1 次式を用いれば、弾性計算より  $M_{yc}$  および  $\Phi_{yc}$  がそれと

$$M_0 = M_{yc} = 0.35 b h^2 \{ 2\beta_1 - 3(\beta_1 - 1)\bar{y}_s \} / 6$$

$$\Phi_0 = \Phi_{yc} = \varepsilon_0 (1 + \beta_1) / 5h\beta_1$$

$$T = T_0 \quad \beta_1 = \{ 0.5 + \beta_0 (1 - \bar{y}_s) \} / (0.5 + \beta_0 \bar{y}_s)$$

$$\beta_0 = E_s (A_s / A_0) (\varepsilon_0 / 1.5\sigma_0), \quad \bar{y}_s = y_s / h,$$

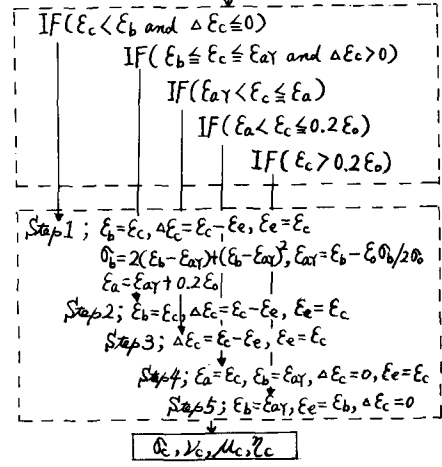
$y_s$ : 枠下縁より鉄筋までの距離。

特に、応力-歪曲線に 2 次式を用いた場合には、それぞれ次の諸値となる。

$$M_0 = M_{yc} = \bar{\varepsilon}_0 b h^2 (A_1 + A_2 + A_3 + A_4)$$

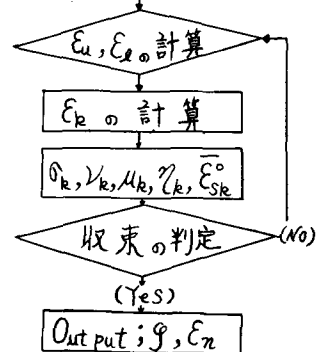
$$\Phi_0 = \Phi_{yc} = 0.15 \varepsilon_0 / (1 - \bar{y}_s) h$$

$\varepsilon_b, \varepsilon_{ay}, \varepsilon_a \oplus \text{初期値}$

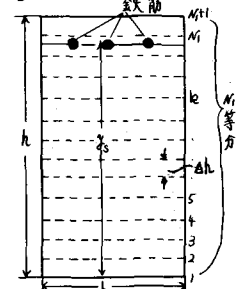


□ — 6

Input:  $M, N$



□ — 7



□ — 8

$$\begin{aligned}
A_1 &= 4\bar{y}_o^3 \bar{\epsilon}_e + 2(3\bar{y}_o^2 - 2\bar{y}_o^3) \bar{\epsilon}_e^2, \\
A_2 &= 15\bar{y}_o^4 \bar{\epsilon}_e + (4\bar{y}_o^3 - 3\bar{y}_o^4) \bar{\epsilon}_e \bar{\epsilon}_e + 0.5(6\bar{y}_o^2 - 8\bar{y}_o^3 + 3\bar{y}_o^4) \bar{\epsilon}_e^2, \\
A_3 &= 4(1-\bar{y}_o^3) \bar{\epsilon}_e + 2(1-3\bar{y}_o^2 + 2\bar{y}_o^3) \bar{\epsilon}_e^2, \\
A_4 &= 6E_s(\epsilon_e/\sigma_o) \{ \bar{y}_s \bar{\epsilon}_e + (1-\bar{y}_s) \bar{\epsilon}_e^2 \} \bar{y}_s (A_s/A_o), \\
\bar{\epsilon}_e &= 0.15, \quad \bar{\epsilon}_e : \int \sigma dA = 0 \text{ の条件を満足する下縁の歪と見て取った値}, \\
\bar{y}_o &= \bar{\epsilon}_e / (\bar{\epsilon}_e - 0.15)
\end{aligned}$$

次に、曲率算定式の行列( $\mathbf{g}$ )、( $\mathbf{f}$ )の要素  $g_{ij}$ 、 $f_{ij}$  を求めたため、断面を  $N$  等分し、台形公式を用いて近似積分を行えば、 $g_{ij}$ 、 $f_{ij}$  はそれぞれ下記の諸値となる。

$$\begin{aligned}
g_{11} &= \frac{4h}{2} \sum_{k=1}^M \{ \mu_{ck}(1-\bar{y}_k) + \mu_{ck+1}(1-\bar{y}_{k+1}) \} + \mu_s A_s(1-\bar{y}_s)/A_o, \\
g_{12} &= \frac{4h}{2} \sum_{k=1}^M \{ \mu_{ck} \bar{y}_k + \mu_{ck+1} \bar{y}_{k+1} \} + \mu_s A_s \bar{y}_s/A_o, \\
g_{21} &= \frac{d_0 \Delta h}{6} \sum_{k=1}^M \{ (3\bar{y}_k + \Delta h) \mu_{ck}(1-\bar{y}_k) + (3\bar{y}_k + 2\Delta h) \mu_{ck+1}(1-\bar{y}_{k+1}) \} + d_0 \mu_s A_s \bar{y}_s(1-\bar{y}_s)/A_o, \\
g_{22} &= \frac{d_0 \Delta h}{6} \sum_{k=1}^M \{ (3\bar{y}_k + \Delta h) \mu_{ck} \bar{y}_k + (3\bar{y}_k + 2\Delta h) \mu_{ck+1} \bar{y}_{k+1} \} + d_0 \mu_s A_s \bar{y}_s^2/A_o, \\
f_{11} &= \frac{4h}{2} \sum_{k=1}^M \{ f(\bar{\epsilon}_{ck}) + f(\bar{\epsilon}_{ck+1}) \} + \mu_s A_s \bar{\epsilon}_s^o/A_o, \\
f_{12} &= \frac{4h}{2} \sum_{k=1}^M \{ (3\bar{y}_k + \Delta h) f(\bar{\epsilon}_{ck}) + (3\bar{y}_k + 2\Delta h) f(\bar{\epsilon}_{ck+1}) \} + d_0 \mu_s A_s \bar{y}_s \bar{\epsilon}_s^o/A_o.
\end{aligned}$$

$$\therefore \text{ここで } \Delta h = \Delta h/h, \quad \Delta h: \text{分割長さ}, \quad N_0 = \sigma_o b h$$

以上の誘導式を用いて断面諸元から  $h=55 \text{ cm}$ ,  $b=40 \text{ cm}$ ,  $y_s=51 \text{ cm}$ ,  $A_s/A_o=0.01$ ,  $E_s=1.62 \times 10^3$ ,  $\sigma_s=2.1 \times 10^3 \text{ kg/cm}^2$ ,  $\sigma_o=300 \text{ kg/cm}^2$ ,  $E_s=2.1 \times 10^6 \text{ kg/cm}^2$  の単鉄筋コンクリート柱の  $M_1/M_0 - \phi/\phi_0$  (曲線)を求めれば  $N=N/N_0=0, 0.1, 0.2$  に対してそれぞれ図-9のことと結果をうる。図-9より軸圧縮の作用によって曲げ剛性は著しく高められ、一種のP.C. 効果が生ずることが分かる。

## 2) T字形断面の合成軸

図-10に示すごときコンクリートスラブと工形鋼材と結合されたT字形の合成軸について矩形断面の場合と同様な考察を行えば以下の通りである。

すなわち、コンクリートの応力-歪曲線に1次式を用い、 $M_0, \phi_0$  として軸上縁の圧縮応力から弹性限界時の応力0.75% (図-3aの直線M-アの屈折点に相当する)をもつ場合の曲げモーメント  $M_{y1}$  もり曲率中点を採用すれば(図-10S)

$$\begin{aligned}
M_0 = M_{y1} &= 0.75\sigma_0 A_o h \left[ \beta_2 (2A_s n_i (\bar{\epsilon}_s^3 - \bar{\epsilon}_s^2) / h_i \right. \\
&\quad \left. + 2\bar{A}_s (1 - \bar{\epsilon}_s^3) / h_i + 3\bar{A}_s n_i (\bar{y}_s^3 + \bar{y}_s^2) \right] \\
&\quad - [A_s n_i (3(\bar{\epsilon}_s^2 - \bar{\epsilon}_s^3) - 2(\bar{\epsilon}_s^3 - \bar{\epsilon}_s^2)) / h_i]
\end{aligned}$$

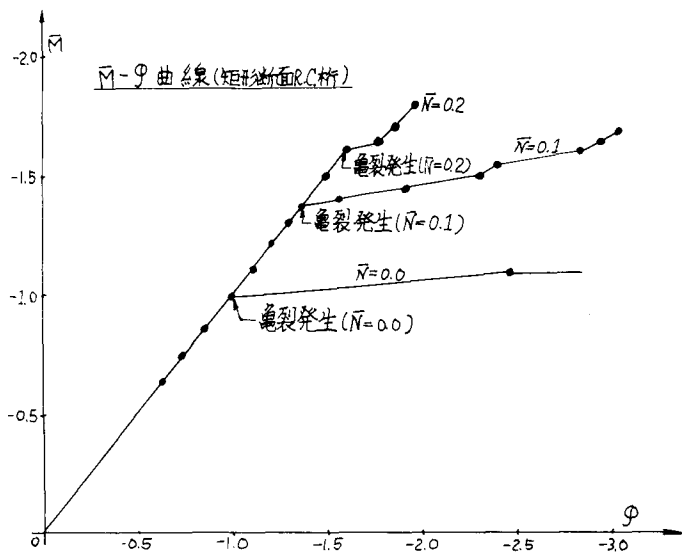


図-9

$$+\bar{A}_c\{3(1-\bar{T}_3^2)-2(1-\bar{T}_3)\}/h_2 +3\bar{A}_f n_i\{\bar{y}_f(1-\bar{y}_f)+\bar{y}_{f'}(1-\bar{y}_{f'})\}]\}$$

$$\phi_o = \phi_{y_i} = 5E_c(1+\beta)/\beta h$$

$$T: t := l$$

$$\beta_2 = \frac{\bar{b}_n \bar{A}_s \{2(\bar{T}_2 - \bar{T}) - (\bar{T}_2^2 - \bar{T}^2)\}/h_1 + \bar{A}_c \{2(1-\bar{T}_3) - (1-\bar{T}_3^2)\}/h_2 + n_i \bar{A}_f \{(1-\bar{y}_f) + (1-\bar{y}_{f'})\}}{\bar{b}_n \bar{A}_s \{(\bar{T}_2^2 - \bar{T}^2)\}/h_1 + \bar{A}_c \{1 - \bar{T}_3^2\}/h_2 + n_i \bar{A}_f (\bar{y}_f + \bar{y}_{f'})}$$

$$n_i = E_s/E_c = 2E_s/E_c, \bar{A}_s = wh/A_s, \bar{A}_c = bh_2/A_c, \bar{A}_f = 2td/A_f,$$

$$A = wh_1 + b h_2 + 2td, \bar{T}_2 = t_2/h, \bar{T}_3 = t_3/h, \bar{T} = t/h, \bar{y}_f = y_f/h, \bar{y}_{f'} = y_{f'}/h$$

$y_f, y_{f'}$ : 上, 下 Flange の 図心点の位置

$$\bar{t}_1 = h_1/h, \bar{t}_2 = h_2/h, t_2 = t + h_1, t_3 = 2t + h_1$$

$w, t, b, d, h_1, h_2$ : 断面形を規定する諸量 (図-10を参照のこと)

次に、断面を図-11のとく分割 (g), (f), (f') の要素を求めれば、それ

で次のとく求められる。

$$g_{11} = \frac{\bar{A}_s \Delta h_1}{2} \sum_{k=2}^{N_3-1} \{ \mu_{sk}(1-\bar{y}_k) + \mu_{sk+1}(1-\bar{y}_{k+1}) \} + \frac{\bar{A}_c \Delta h_2}{2} \sum_{k=N_4}^{N_5-1} \{ \mu_{ck}(1-\bar{y}_k) + \mu_{ck+1}(1-\bar{y}_{k+1}) \} + \frac{\bar{A}_f}{2} \{ \mu_{sf}(1-\bar{y}_f) + \mu_{sf'}(1-\bar{y}_{f'}) \}$$

$$g_{12} = \frac{\bar{A}_s \Delta h_1}{2} \sum_{k=2}^{N_3-1} \{ \mu_{sk}\bar{y}_k + \mu_{sk+1}\bar{y}_{k+1} \} + \frac{\bar{A}_c \Delta h_2}{2} \sum_{k=N_4}^{N_5-1} \{ \mu_{ck}\bar{y}_k + \mu_{ck+1}\bar{y}_{k+1} \} + \frac{\bar{A}_f}{2} \{ \mu_{sf}\bar{y}_f + \mu_{sf'}\bar{y}_{f'} \}$$

$$g_{21} = \frac{d_0}{6} \left[ \bar{A}_s \Delta h_1 \sum_{k=2}^{N_3-1} \{ \mu_{sk}(1-\bar{y}_k)(3\bar{y}_k + \Delta h) + \mu_{sk+1}(1-\bar{y}_{k+1})(3\bar{y}_k + 2\Delta h) \} + \bar{A}_c \Delta h_2 \sum_{k=N_4}^{N_5-1} \{ \mu_{ck}(1-\bar{y}_k)(3\bar{y}_k + \Delta h) + \mu_{ck+1}(1-\bar{y}_{k+1})(3\bar{y}_k + 2\Delta h) \} + 3\bar{A}_f \{ \mu_{sf}(1-\bar{y}_f)\bar{y}_f + \mu_{sf'}(1-\bar{y}_{f'})\bar{y}_{f'} \} \right]$$

$$g_{22} = \frac{d_0}{6} \left[ \bar{A}_s \Delta h_1 \sum_{k=2}^{N_3-1} \{ \mu_{sk}\bar{y}_k(3\bar{y}_k + \Delta h) + \mu_{sk+1}\bar{y}_{k+1}(3\bar{y}_k + 2\Delta h) \} + \bar{A}_c \Delta h_2 \sum_{k=N_4}^{N_5-1} \{ \mu_{ck}\bar{y}_k(3\bar{y}_k + \Delta h) + \mu_{ck+1}\bar{y}_{k+1}(3\bar{y}_k + 2\Delta h) \} + 3\bar{A}_f \{ \mu_{sf}\bar{y}_f\bar{y}_f^2 + \mu_{sf'}\bar{y}_{f'}\bar{y}_{f'}^2 \} \right]$$

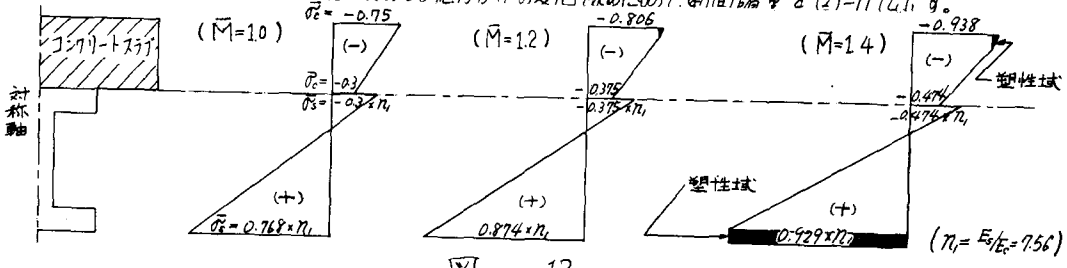
$$f_{11} = \frac{\bar{A}_s \Delta h_1}{2} \sum_{k=2}^{N_3-1} \{ \mu_{sk}\bar{e}_{sk}^0 + \mu_{sk+1}\bar{e}_{sk+1}^0 \} + \frac{\bar{A}_c \Delta h_2}{2} \sum_{k=N_4}^{N_5-1} \{ \mu_{ck}\bar{e}_{ck}^0 + \mu_{ck+1}\bar{e}_{ck+1}^0 \} + \frac{\bar{A}_f}{2} \{ \mu_{sf}\bar{e}_{sf}^0 + \mu_{sf'}\bar{e}_{sf'}^0 \}$$

$$f_{12} = \frac{d_0}{6} \left[ \bar{A}_s \Delta h_1 \sum_{k=2}^{N_3-1} \{ \mu_{sk}(3\bar{y}_k + \Delta h)\bar{e}_{sk}^0 + \mu_{sk+1}(3\bar{y}_k + 2\Delta h)\bar{e}_{sk+1}^0 \} + \bar{A}_c \Delta h_2 \sum_{k=N_4}^{N_5-1} \{ \mu_{ck}(3\bar{y}_k + \Delta h)\bar{e}_{ck}^0 + \mu_{ck+1}(3\bar{y}_k + 2\Delta h)\bar{e}_{ck+1}^0 \} + 3\bar{A}_f \{ \mu_{sf}\bar{y}_f\bar{e}_{sf}^0 + \mu_{sf'}\bar{y}_{f'}\bar{e}_{sf'}^0 \} \right]$$

$$\text{ただし } \Delta h_1 = \Delta h/h_1, \Delta h_2 = \Delta h/h_2, N_3 = N+2, N_4 = N+4, N_5 = N+4,$$

また添字 f, f' は上, 下 Flange の 図心点, 矢印添字 S おき  
よび C は全幅おきの 2 フリート部を表す。

図-12 および図-13 は、この種の M-曲線および応力分布の変化をめたもの (断面諸量を図-11 に示す)。



## 4. 補正エネルギー法

### 1) 補正エネルギーの定義

構造物の変形成分を  $u_i$ , それに対応する一般力を  $F_i$  とするとき

$$u_i = \frac{\partial C}{\partial F_i} \quad (i=1, 2, 3, \dots) \quad (12)$$

の関係を唯一の条件とする関数  $C = C(F_1, F_2, F_3, \dots)$  を考へる。

一方, この構造物に貢献される歪エネルギー  $\bar{U}$  の増分  $d\bar{U}$  は, 一般に次式で与えられる。

$$d\bar{U} = \sum_i F_i du_i \quad (13)$$

$$\text{式(12), (13)より} \quad dC = \sum_i u_i dF_i = \sum_i d(u_i F_i) - \sum_i F_i du_i$$

$$\text{ゆえに} \quad dC = \sum_i d(u_i F_i) - d\bar{U}$$

両辺を積分して

$$C = \sum_i u_i F_i - \bar{U} \quad (14)$$

この  $C$  を補正エネルギーと定義する。

### 2) 部材要素に対する補正エネルギー

桁を適当な数に区分し,  $k$  番目の分割桁 (これを部材要素  $k$  と名付ける.) に式(14)を適用すれば, 次式が成立する。  $C_k = \sum_i F_{k,i} u_{k,i} - U_k$

ただし  $F_{k,i}$ : 部材要素  $k$  に作用する一般力,  $u_{k,i}$ :  $F_{k,i}$  に対応する変形成分,  $U_k$ : 部材要素  $k$  の歪エネルギー

式(2). 桁全体の補正エネルギー  $C$  は

$$C = \sum_k C_k = \sum_k \sum_i F_{k,i} u_{k,i} - \sum_k U_k \quad (16)$$

さて、長さ  $ds$  の部材要素が 図-14 のごとき外力を受けて最終平衡状態に至るものとする。この時生ずる歪エネルギーは  $d\bar{U} = \bar{U}_0 ds'$

ここに  $\bar{U}_0$  は、単位長さ当たりの歪エネルギーであり、一般に軸力と曲げモーメントを受ける桁の場合には次式で与えられる。  $\bar{U}_0 = \int M d\phi + \int N d\epsilon_n$

また、この部材要素に貢献される補正エネルギー  $dC$  は、式(16)より

$$dC = M \{ \theta + \phi(1+\epsilon_n) ds/2 \} + (M+dM) \{ -\theta + \phi(1+\epsilon_n) ds/2 \} + V(1+\epsilon_n) ds \sin \theta + H \{ (1+\epsilon_n) \cos \theta - 1 \} ds - d\bar{U}$$

高次の微小項を省略し、 $dC = C_0 ds$  とおけば、 $C_0$  が次式で求められる。

$$C_0 = M \phi(1+\epsilon_n) - \frac{dM}{ds} \theta + N \epsilon_n + V \rho m \theta + H(\cos \theta - 1) - \bar{U}_0(1+\epsilon_n) \quad (17)$$

ここで  $N = V \rho m \theta + H \cos \theta$ ,  $ds' = (1+\epsilon_n) ds$ ,  $V$ : 鋼直反力,  $H$ : 水平反力,  $\theta$ : 水平軸と部材要素との傾角。式(19)に式(18)を代入のうえ、整理すれば

$$C_0 = \int \phi(1+\epsilon_n) dM - \frac{dM}{ds} \theta + \int \epsilon_n dN + V \rho m \theta + H(\cos \theta - 1) \quad (20)$$

式(2). 桁全体の補正エネルギー  $C$  は、結局次の式で与えられる。

$$C = \iint \phi(1+\epsilon_n) dM ds - \frac{dM}{ds} \theta ds + \iint \epsilon_n dN ds + \int V \rho m \theta + H(\cos \theta - 1) ds \quad (21)$$

さらに式(21)は、Simpson 公式を用いることにより次のようき解析可能な式に書き改められる。

すなわち、桁を  $2n$  等分するものと仮定すれば

$$C = \lambda \{ X_1 + X_{2n+1} + 4(X_2 + X_4 + \dots) + 2(X_3 + X_5 + \dots) \} \frac{s}{3} \quad (22)$$

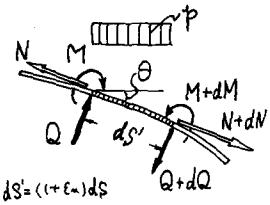


図-14

$$\text{ただし } X_k = \int_{M_k} \phi (H + \epsilon_{nk}) dM - \frac{dM_k}{\lambda} \theta_k + \int_{M_k} \epsilon_n dN + V_k \sin \theta_k + H_k (\cos \theta_k - 1), \quad (k=1, 2, \dots, 2n+1),$$

$\lambda (=ds)$ : 部材要素の長さ。

### 3) 变形の適合条件と力の釣合い式

未知数角 $\theta_k$ に関する变形の適合条件式は、変分原理より次式で与えられる。

$$\frac{\partial C}{\partial M_k} = 0, \quad (k=1, 2, \dots, 2n_0) \quad (23)$$

一方、部材要素 $k$ に働く力の釣合い式は、図-14より次のようく表わされる。

$$\left. \begin{aligned} dQ_k + \phi (1 + \epsilon_{nk}) ds \cos \theta_k &= 0 \\ dN_k + \phi (1 + \epsilon_{nk}) ds \sin \theta_k &= 0 \\ dM_k - Q_k (1 + \epsilon_{nk}) ds &= 0 \end{aligned} \right\}, \quad (k=1, 2, \dots, 2n_0) \quad (24)$$

### 4) 解法および計算例

図-15(a)に示すごとき矩形断面を有する片持はりが、一定水平荷重 $N_c$ および漸増鉛直荷重 $P$ を受ける場合の变形および応力解析を行えば以下の通りである。ただしはりの長さは $l = 550\text{m}$ で、断面諸量(1.3.1)の図-9のそれと同一とする。

さて、はりの分割数を10として各部材要素について力の釣合い式を求めれば、式(24)より(図-15(b)参照)。

$$\left. \begin{aligned} Q_{k+1} &= P \cos \theta_k + N_c \sin \theta_k \\ N_{k+1} &= P \sin \theta_k - N_c \cos \theta_k \\ M_{k+1} &= M_k + Q_{k+1} (1 + \epsilon_{nk}) \lambda \end{aligned} \right\}, \quad (k=1, 2, \dots, 10) \quad (25)$$

$$\text{ただし } \lambda = l/10$$

で与えられ、また境界条件は $M_{11}=0, N_1=-N_c, Q_1=P$ となる。

また、式(22)を用いて式(23)を变形すれば、

結局次式をえる。

$$\left. \begin{aligned} \theta_k &= \theta_{k-1} - \frac{1}{6} \{ 2\phi_k (1 + \epsilon_{nk}) + (\phi_k + \phi_{k+1}) (2 + \epsilon_{nk} + \epsilon_{nk+1})/2 \\ &\quad + (\phi_k + \phi_{k+1}) (2 + \epsilon_{nk} + \epsilon_{nk+1})/2 \}, \quad (k=2, 3, \dots, 10) \\ \theta_1 &= -\frac{1}{6} \{ \phi_1 (1 + \epsilon_{n1}) + (\phi_1 + \phi_2) (2 + \epsilon_{n1} + \epsilon_{n2})/2 \} \end{aligned} \right\} \quad (26)$$

よって、式(25)、(26)を併用すれば、与荷重に対する $M, N, Q$ および $\theta$ から繰返し試算によって算出決定されることになる。

また、自由端のたわみ $S_c$ は変分原理より、次のごとく求められる。

$$\begin{aligned} S_c = \frac{\partial C}{\partial P} &= \frac{2}{3} \{ X_1 + X_{11} + 4(X_2 + X_4 + \dots + X_{10}) \\ &\quad + 2(X_3 + X_5 + \dots + X_9) \} \end{aligned} \quad (27)$$

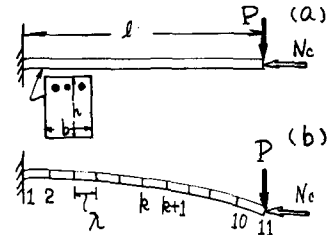


図-15

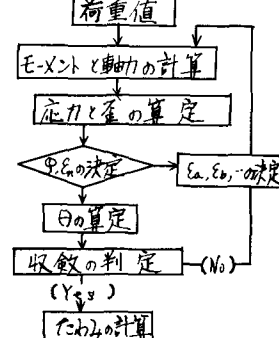


図-16

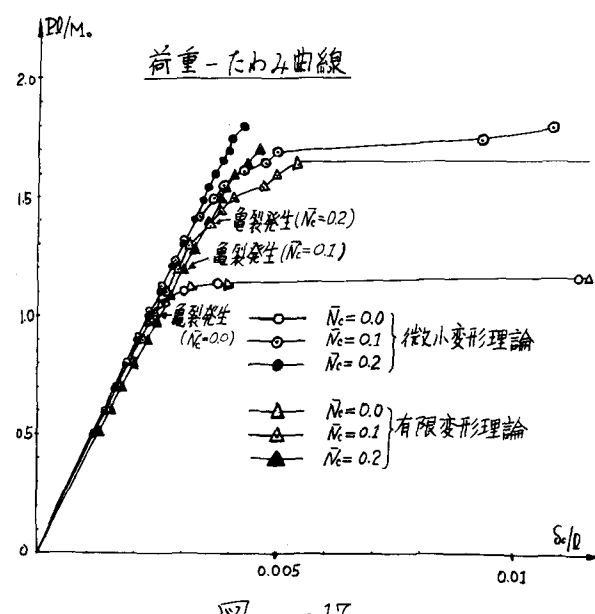


図-17

たてた

$$\begin{aligned} X_k &= \frac{\partial X_k}{\partial P} = \phi_k (1 + E_{nk}) \frac{\partial M_k}{\partial P} - \theta_k (1 + E_{nk}) \frac{\partial \theta_k}{\partial P} + E_{nk} \frac{\partial M_k}{\partial P} + \frac{\partial M_k}{\partial P} \theta_k + \frac{\partial H_k}{\partial P} (C \theta_k - 1) \\ &= (1 + E_{nk}) (\phi_k \xi_k + \theta_k \theta_k - \theta_k C \theta_k), \quad (k=1, 2, \dots, 10) \\ \xi_k &= \sum_{i=1}^{10} (1 + E_{ni}) \cos \theta_i, \quad \xi_1 = 0 \end{aligned}$$

以上から  $\bar{N}_c/N_c = 0, 0.1, 0.2$  で  $P = 0 \sim 1.8 \times M_o/l$  の漸増荷重に対する荷重-たわみ曲線を図-16のFlow-Chartを用いて求め。その結果を微小変形理論と比較すれば図-17のようなる。図-17より、 $N_c$ が作用する場合の微小変形理論のたわみは明らかに過小評価されており、その誤差は亀裂発生と共に増大するとか判読される。(ただしコンクリートの歪曲線は1次式とする)

一方、図-18は、破壊に至る段階のコンクリートの応力分布を求めたものである。また図-19は、亀裂の進行状態を図示したものである。

R.C. 中持ばかりの応力分布図 (固定端)

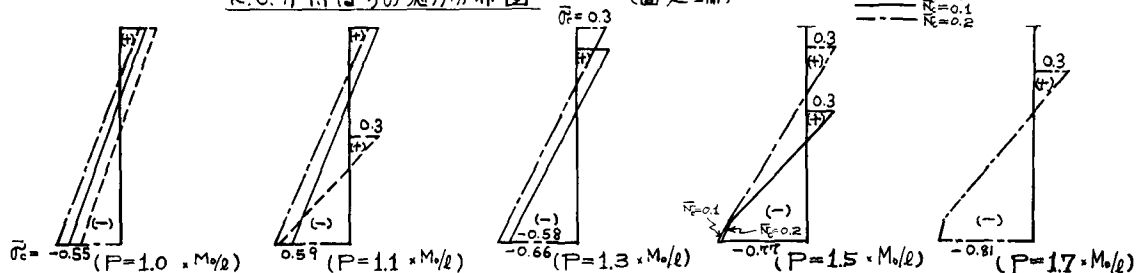


図-18

## 5. 結語

本論文は、軸力と曲げモーメントの組合せ負荷を受けたR.C.および合成桁のコンクリート部の亀裂を考慮した弾塑性有限変形に関する解析理論を提示したものであるが、本法を拡張すれば、曲げおよびせん断応力の組合せ応力に関する破壊条件を導入することにより、せん断亀裂現象も解明でき、さらに式(2)に粘性を考慮した応力-歪曲線式を用いることにより実体に即した粘弾塑性解析が可能となる。

また、本理論がエネルギー法に基づくものであらゆる、この種の行進構成される連続ばかりおよびラーメンなどの不静定構造物も、在来の弾性エネルギー法に準じて解析でき、これらについては逐次報告の予定である。

図-19

## (参考文献)

- 1) Titendra N. Kar; Diagonal Cracking in Prestressed Beams, Jour. of the S.D., Proc. of the A.S.C.E., January, 1968
- 2) Carl E. Eckberg; Development and Use of Prestressed Steel Flipped Members, Jour. of the S.D., Proc. of the A.S.C.E., September, 1968
- 3) R.C. Fenwick; Mechanisms of Shear Resistance of Concrete Beams, Jour. of the S.D., Proc. of the A.S.C.E., October, 1968
- 4) I.O. Oladapo; Stability of Tensile Crack in Prestressed Concrete Beams, Jour. of the S.D., Proc. of the A.S.C.E., January, 1969
- 5) J.W. Roderick; Load Carrying Capacity of Simple Composite Columns, Jour. of the S.D., Proc. of the A.S.C.E., February, 1969
- 6) Hugh Robinson; Composite Beams Incorporating Cellular Steel Decking, Jour. of the S.D., Proc. of the A.S.C.E., March, 1969

